

大阪大学工学部 正会員 横木 亨
 大阪大学工学部 正会員 ○岩田 好朗
 大阪大学大学院 学生員 富士川 洋一

1. 緒言： 近年、消波効果を有する鉛直岸壁（あるいは護岸）が注目を集め、この種の岸壁形状の開港とその消波特性について検討が加えられてきている。本論文取り扱う鉛直消波岸壁構造としては、背後に遊水部を有し前面の透過壁厚は表襲波の波長に比べて極めて小さい構造の場合である。この鉛直消波岸壁の消波効果について著者の横木・岩田は規則波に対して、透過壁の反射率を33%～38%，遊水部長と入射波長の1/4奇数倍にすれば最大の消波効果がもたらされる事を既に明らかにして。いうまでもなく、現地海岸での表襲波は不規則波浪であるため、不規則波に対する消波効果を明らかにしておかなければ現地海岸への施工に大きな問題点が残る。著者らは不規則波浪に対する検討のうち段階として2成分合成波に対する消波効果を調べ、単成分波に対する消波効果との差異について考察を加えてその結果の一部を報告することとする。

2. 理論解析： いま、2成分合成入射波 η_{CI} が2つの単成分波の单纯重ね合せとして、 $\eta_{CI} = \alpha_1 \cos(k_1 x + \theta_{C1}) + \alpha_2 \cos(k_2 x + \theta_{C2} + \hat{\theta}_{H1})$ で与えられるものとする。この2成分合成波が鉛直消波岸壁へ入射し、透過壁と不透過壁で反復反射するものとし、そのうち有限回の反復反射 ($\gamma_{IR1}, \gamma_{IR2}, \gamma_{IR3}$ 以上の項を考慮しない) を考慮すると、遊水部の不透過壁での水位変動 η_H^* と鉛直消波岸壁前面での水位変動 η_C^* はおのおの(1)式と(3)式で与えられる。なお、同式は透過壁と不透過壁での反射、透過の際波の位相差を考慮しないものである。

$$\begin{aligned} \eta_H^* &= \alpha_1 \gamma_{IR1} (1 + \gamma_{IR1}) \sqrt{1 + \alpha_1^4 \gamma_{IR1}^2 \gamma_{IR1}^2 + 2 \gamma_{IR1} \gamma_{IR2} \alpha_1^2 \cos\left(\frac{4\pi L}{L_1}\right)} \cos(\omega t + \hat{\theta}_{H1}) \\ &\quad + \alpha_2 \alpha_1 \gamma_{IR2} (1 + \gamma_{IR2}) \sqrt{1 + \alpha_2^4 \gamma_{IR2}^2 \gamma_{IR2}^2 + 2 \gamma_{IR2} \gamma_{IR3} \alpha_2^2 \cos\left(\frac{4\pi L}{L_2}\right)} \cos(\omega t + \hat{\theta}_{H2}), \end{aligned} \quad (1)$$

ただし、

$$\hat{\theta}_{H1} = \tan^{-1} \left\{ \frac{\sin(2\pi k_1 L_1) + \alpha_1^2 \gamma_{IR1} \gamma_{IR1} \sin(6\pi k_1 L_1)}{\cos(2\pi k_1 L_1) + \alpha_1^2 \gamma_{IR1} \gamma_{IR1} \cos(6\pi k_1 L_1)} \right\}, \quad \hat{\theta}_{H2} = \tan^{-1} \left\{ \frac{\sin(-\frac{\alpha_2}{\alpha_1} \hat{\theta}_1 + \hat{\theta}_2 - \frac{2\pi L}{L_2}) + \alpha_2^2 \gamma_{IR2} \gamma_{IR2} \sin(6\pi k_2 L_2)}{\cos(-\frac{\alpha_2}{\alpha_1} \hat{\theta}_1 + \hat{\theta}_2 - \frac{2\pi L}{L_2}) + \alpha_2^2 \gamma_{IR2} \gamma_{IR2} \cos(6\pi k_2 L_2)} \right\}, \quad (2)$$

$$\eta_C^* = \alpha_1 \sqrt{1 + \xi_1^2 + 2\xi_1 \cos(2k_1 x + \theta_{C1})} \cdot \cos(\omega t - \hat{\theta}_{C1}) + \alpha_2 \sqrt{1 + \xi_2^2 + 2\xi_2 \cos(2k_2 x + \theta_{C2})} \cdot \cos(\omega t - \frac{\alpha_2}{\alpha_1} \hat{\theta}_1 + \hat{\theta}_2 - \hat{\theta}_{C2}), \quad (3)$$

$$\begin{aligned} \text{ただし, } \xi_L &= \gamma_{IR1}^2 + \gamma_{IR1}^4 \alpha_i^2 \gamma_{IRi}^2 + 2 \alpha_i^2 \gamma_{IRi} \gamma_{IRi} \gamma_m^2 \cos\left(\frac{4\pi L}{L_i}\right), (i=1, 2), \quad \theta_{Ci} = \tan^{-1} \left\{ \frac{\gamma_m^2 \alpha_i^2 \gamma_{IRi} \sin\left(\frac{4\pi L}{L_i}\right)}{\gamma_{IRi}^2 + \gamma_{IRi}^2 \alpha_i^2 \gamma_{IRi}^2 \cos\left(\frac{4\pi L}{L_i}\right)} \right\}, (i=1, 2) \\ \hat{\theta}_{Ci} &= \tan^{-1} \left\{ \frac{-\sin k_i x + \gamma_{IRi} \sin k_i x + \gamma_{IRi}^2 \alpha_i^2 \gamma_{IRi}^2 \sin(k_i x + \frac{4\pi L}{L_i})}{\cos k_i x + \gamma_{IRi} \cos k_i x + \gamma_m^2 \alpha_i^2 \gamma_{IRi}^2 \cos(k_i x + \frac{4\pi L}{L_i})} \right\}, (i=1, 2). \end{aligned} \quad (4)$$

なお、(1)式～(4)式で、 α_i =成分波の片振幅、 k_i (=2π/L_i)=成分波の波数、L_i(=2π/k_i)=成分波の周期、T_i=成分波の周期、x=透過壁と原点とし沖方向を正方向とした水平距離、t=時間、 $\hat{\theta}_i$ =成分波の位相差、 α_i =成分波の最高高さ深さ(なお、後述する図-3、図-4、図-5で示す理論値は全て $\alpha_i = 1/10$ とする値である)、 γ_{IR1} 、 γ_{IR2} は透過壁での成分波の透過率と反射率、 γ_{IRi} =不透過壁での成分波の反射率(α_i と同様、理論値は $\gamma_{IRi} = 1/10$ にて求めてある)、l=遊水部長、添字iは成分波を示し、(i=1, 2)、例えば、 γ_{IR1} は透過壁での1成分波の反射率を示す。

3. 水理実験： 上述の解析値の妥当性を検討するため水理実験を行なつた。用いた水槽は長さ30m×幅0.75m

×高さ1.0m。片面ガラス張りの室内鋼製水槽であり、造波板はフラップ型である。実験波はあらかじめ磁気テープに記録された合成すべき2つの単成分波と電気的に合成された2成分波を用いて生起させるが、本実験では2成分波として、 $T_1=1.0$ sec, $2a_1=1.3$ cm, $T_2=0.64$ sec, $2a_2=0.75$ cmの合成波(Case-1), $T_1=1.0$ sec, $2a_1=2.0$ cm, $T_2=0.64$ sec, $2a_2=1.0$ cmの合成波(Case-2), $T_1=0.8$ sec, $2a_1=2.05$ cm, $T_2=1.0$ sec, $2a_2=1.05$ cmの合成波(Case-3)の3種類を用いた。水位変動は全て電気抵抗線式水位計で計測し、記録は全て磁気テープとペン書きレコーダーで行なつた。水深は造波板前面で約56cmとし、造波板より10cm離れた地盤から小段を設けて水深を浅くして22cmの一定水深とし、この水域に消波岸壁を設置した。すなわち透過程率0.186の多孔壁を用いた。実験は、3種類の合成波とその成分波のもののについても5~7種類まで水位変動を計測するが、このうち岸壁前面の水位変動は1cm間隔で井戸方向60cm(L_w=60cm)範囲にわたり計測した。なお2成分合成波に対しては2成分が完全に合成されず規則性がないから透過程壁と不透過壁を同時に設置して計測を行なつた。本論では図-1に示すCase-1(単成分波の单纯重ね合せが認められる場合)とCase-3(非線形波が生ずる場合)について、進水部内の水位変動と岸壁前面の水位変動について述べる。なお、一例としてCase-1の合成入射波の時間波形を示すと図-2のようであり、单一成分波の波形とかなり異なつてゐる。図-3はCase-1とCase-3の波に対する岸壁前面での合成波高の最大値の場所的な分布を示す。Case-1では図-3(a)に示すよう実験値(印)と理論値(3式の H_c^*)maxが示されてゐる。なお、(3式)の値は(a)では $\gamma_{IR1}=\gamma_{IR2}=0.29$, $\gamma_{IT1}=\gamma_{IT2}=0.71$, (b)では $\gamma_{IR1}=0.30$, $\gamma_{IR2}=0.30$, $\gamma_{IT1}=0.71$, $\gamma_{IT2}=0.69$ の実験値, $\gamma_{IR1}=\gamma_{IR2}=\gamma_1=\gamma_2=1$, 計算入射波より算定した θ_1 と θ_2 を用いて計算した値である。Case-1の波については図-3(a)に示すよう実験値と計算値よく一致しており、単成分波の单纯重ね合せ現象が生じてゐることは明らかである。一方、図-3(b)に示すCase-3の波については、図-1(b)に示すよう $H_1^*(\frac{f}{\pi}-\frac{1}{T_1})$ の非線形干渉波が形成されるため、

この干渉波の効果を考慮して(3式)の計算値と実験値

はCase-1の波高には一致しないけれども定性的には充分一致している。この合成波高の最大値を入射波高で割った値、 H_c^*/H_i と f/f_i の関係を示すのが図-4であり、同図に示す合成波の計算値(3式)は、 $H_c^*_{max}=[\gamma_{c*}^*]_{max}$, $H_i=H_1+H_2=2a_1+2a_2$ を用いて無次元化したものである。同図によれば、非線形干渉波が生ずるCase-3について

も比較的よく実験値(印)と理論値が一致しており、Case-1の場合の結果と合せて考えると、著者らの実験範囲での2成分波に対しては各成分波の单纯重ね合せとして(3式)で取扱う。鉛直岸壁の消波効果がほぼ評価できるものといえる。また合成波に対して消波効果を高める進水部長さは構成成分波の波高分布によりかなり変化するものと考えらるが、図-4(a)に示す短周期($T_2=0.64$ sec)の波高 $2a_2=0.75$ cm, 長周期($T_1=1.0$ sec)の波高 $2a_1=1.3$

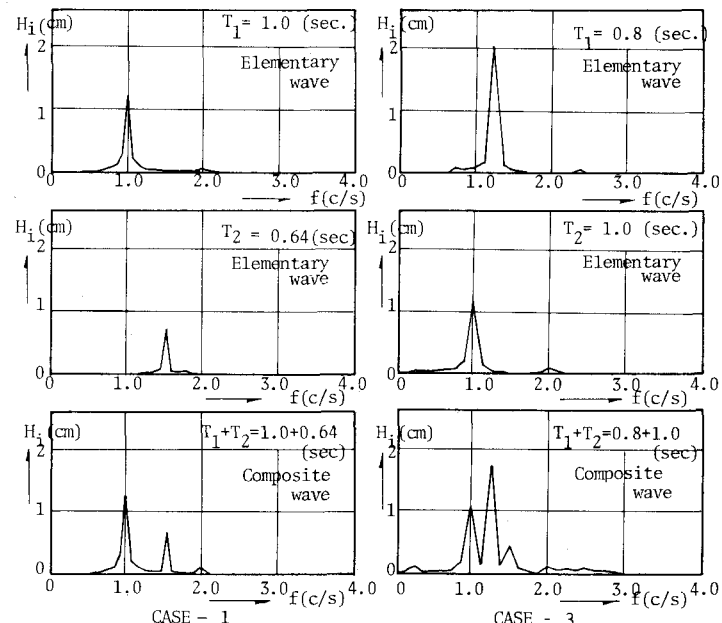


図-1 実験波の特性

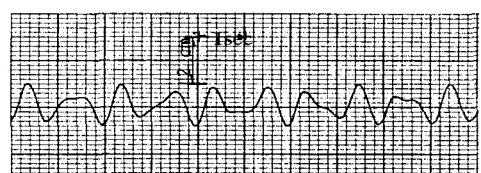


図-2 合成波の時間波形 (Case-1)

のはほぼ1周期に近い場合でも、長周期よりむしろ短周期の成分波長の0.15~0.25程度とすれば充分消波効果が高められる事が認められる。又、この事で長周期波の成分波高が短周期成分波高の2倍以上の大きさを有する場合についても勿論再検討を要するが、図-4(b)とも合せて考えると、单一成分波より2成分合成波に対して設計する方が、所要の消波効果を得るために進水部長 ℓ をより小さくできうる事を示すものと推察される。また、図-5に示す不透過程前面の水位変動 H^* =(H^*)_{max}については、 H^* ほど実験値(印)と計算値(1式)の一致は認められないが、定性的には充分一致しており、特に非線形干渉波無視する場合には、この点はほぼ(1)式で算定し得ると考えてよろう。

参考文献

- 1) 横木 亭・岩田 好一郎：多孔式鉛直消波岸壁の水理特性に関する二・三の考察、220号、1973.

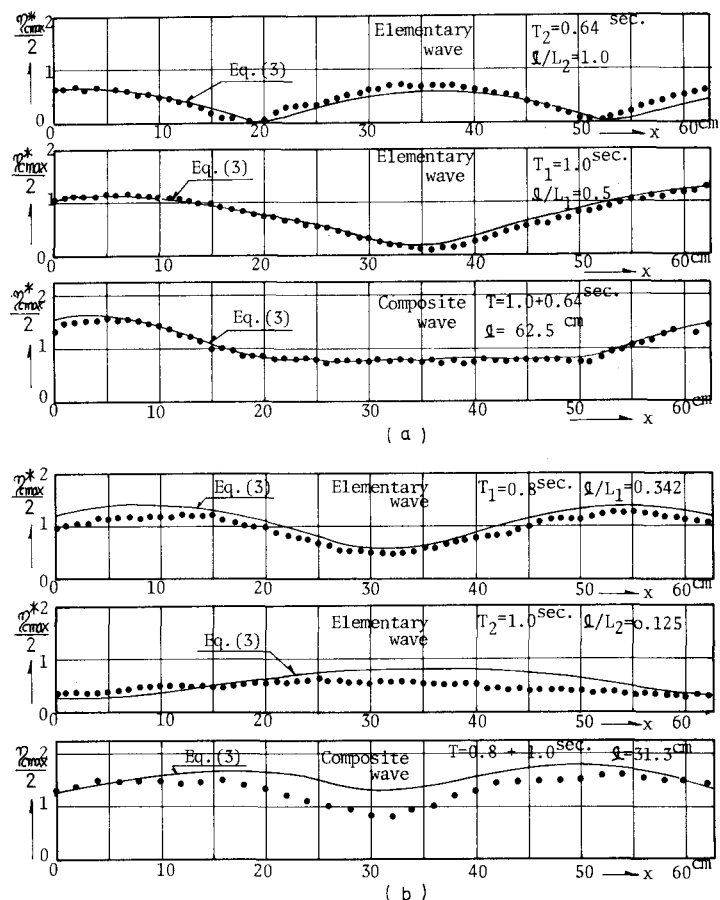


図-3 鉛直消波岸壁前面の合成波高分布(・印は実験値を示す)

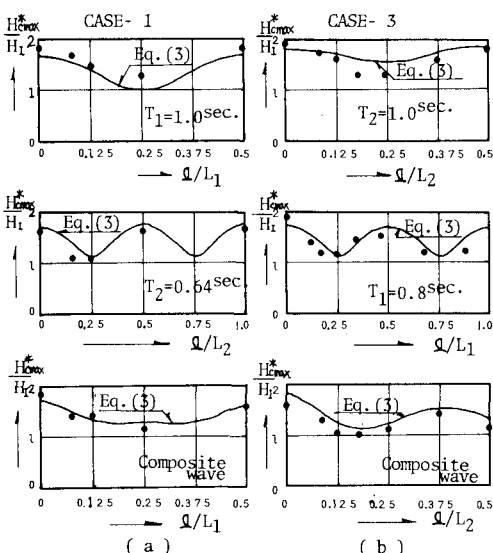


図-4 H^*_{max}/H_1 と ℓ/L_i の関係

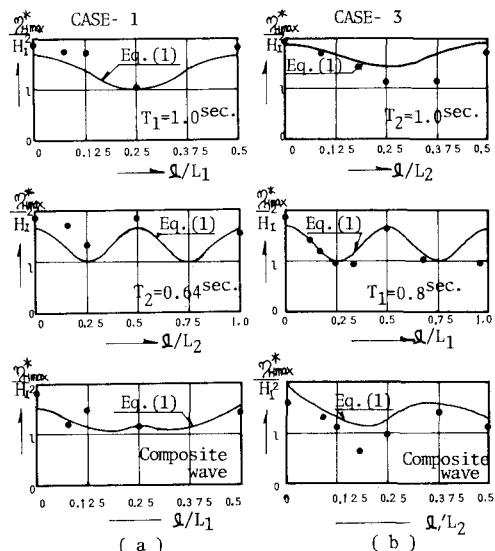


図-5 H^*_{max}/H_1 と ℓ/L_i の関係